



**54852—
2024**

1 « -
»
()

2 465 « »

3 13 2024 . 302-

4 54852—2021

26
29 2015 . 162- « 1
)
— () « ,
— « ,
».
— ,
— (www.rst.gov.ru)

1	1
2	1
3	1
4	2
5	2
6	3
7	4
7.1	4
7.2	5
7.3	11
8	13
9	()	14
	15
	34

Buildings and constructions. Methods for determining the indicators of the heat shield on the basis of thermal imaging
examination and field measurements

— 2024—08—01

1

2

7502

59939

50.13330.2012 « 23-02-2003 »

(—)

«

»,

«

1

»

(—).

3

50.13330, 59939,

3.1

(

,

(

,

)

):

),

3.2 ; :
3.3 (),

3.4 () :
,

4

4.1 ()
() /
,

4.2

,
,

, ()

4.3

() ,

4.4

()

5

5.1

[1].

5.2

() — 20 °C 70 °C;
— 320 * 240
;

— ±2 °C, ±2 %.

5.3

— 30 °C 85 °C;
— 0,1 °C;
— ±1,0 °C;
() — 5 180

5.4

, (), — 10 200 /

1 / ;

— ±6 %.

5.5

5.6

7502.

6

6.1

) ()

6.2

) ;
)
10

20 °C;

)

() ();
,

()

(

),

,

);

)

— 10

6.3

(, (,) ;
)
)

10

20 °C.

, , , , , , , , , , , ,
20 °C
5- , 4- 6- ;
)

) (); — 20
— 10 .
6.4

1,1 2 • ° / (,)
);
2
;
)
—
(3
);
— 5 .

7

7.1

7.1.1

7.1.2

7.1.3

()
24

7.1.4

7.1.5

7.1.6

10 %.

7.1.7

(
),

7.1.8

()

7.1.10

()

7.1.11

()

7.1.12

7.2

7.2.1

()

5 — 10

7.2.2

7.1.

7.2.3

()

()

();

7.2.4

1,1 2 • ° / ,

()

15 °C,

15 °C;

90°

7.2.6

7.2.7

7.2.8

7.2.9

7.2.10

7.2.11

7.2.12

(30).

7.2.13

10—15

7.2.14

1,5

7.2.15

10

5 20

7.2.16

7.2.17

10

7.2.18

7.2.19

1,1 2 ° /

5

10
7.2.20, t_f , °C;, f^B , °C; Δ , °C;

|., °C;

 q^A , / 2. $j = 1, \dots, n$,

/,

 $i = 1, \dots, n$

(

1,1 2 • ° /

7.2.21

7.2.22

R-

/

j

> _ ^ 4

(1)

|- —

/-

j'

Δ —

/-

j̄

qij —

/-

j̄

7.2.23

j,

1 (2)

Fj — /-
7.2.24 R_n

$$R_n = -t^{\alpha} + \frac{1}{\alpha_H}, \quad (3)$$

50.13330.2012 (4);

50.13330.2012 (6);

7.2.25

7.2.26

() ;

7.2.27

j, qj

=~ (4)

/=1

7.2.28 R_{nj}B
j

-----^ Ri 4 -----•
« J « (5)

7.2.29

$$(f_{cp} \pm 2^{\circ}\text{C}) \quad (4)$$

7.2.30

$$\{R_n j(x)\}, j = 1, \dots,$$

$$R(x) \quad [x^{\alpha} x_j, \quad / = 1, 2, \dots, q \\ (= 5-7),$$

$$R(x) = \sum_{i=0}^n Y^a i x^i \quad (6)$$

$$R_{ni}$$

$$\int_{-1}^1 \int_{-1}^1 \int_{-1}^1 x^{\alpha} dx, \quad (7)$$

$$\Lambda''' \quad \Lambda' \quad (8)$$

5.

$$R_n j \quad j \quad x_j$$

$$\Lambda j = R n f \sim \Lambda a i x_j \quad (9)$$

$$\{8(\)\}, \quad) = 1, \dots,$$

0,95

7.2.31 0,997 $[R_n - 2G; R^\wedge + 2G],$
 $[R_n - 3G; R_n + 3G],$

$$R'(x) = \wedge + 2 \left(\begin{array}{c} \cos px + fe_p \sin \\ = 1 \end{array} \right), \quad (10)$$

$$\begin{aligned} 0, & \quad - \quad ; \\ & \quad - \quad ; \\ & \quad - \quad , \quad - \quad (\\) & \quad (\quad) . \\ & \quad : \end{aligned}$$

$$\circ = 2^\wedge J \quad * / 1 *' \quad (11)$$

$$= - \int f(x) \cos px dx, \quad (12)$$

$$b_p = 4/f(x) \sin px dx. \quad (13)$$

$$\begin{aligned} & \quad /4 \quad /3, \quad - \\ 8 & \quad R^\wedge \\ R_n j & \quad R^\wedge \\ & \quad \wedge = \wedge \wedge \quad (14) \\ & \quad \{8.(\)\}, \quad j = 1, \dots, \\ G. & \quad 0,997 \quad [R_n - 2; 7? + 2G], \\ & \quad [R_n - 3G; R_n + 3G], \quad 0,95 \\ 7.2.32 & \quad 0,997. \end{aligned}$$

7.2.33 0,997. $(R_n \pm 8), \quad R_n -$
 $; 8 -$

7.3**7.3.1**

$$\begin{aligned} & \quad , \quad (\quad) \\ & \quad (\quad) \\ & \quad , \quad 5 \quad , \quad - 10 \quad . \\ & \quad 50.13330.2012 (\quad 5). \end{aligned}$$

7.3.2

7.2.

7.3.3

6.3.

7.3.4

7.1.
7.3.5

7.3.6

7.3.7

7.3.8

150

10

5

10

7.3.9

7.3.10

$$\tau_B = t_B - \frac{(t'_B - \tau'_B) \cdot (t_B - t_H)}{(t'_B - t'_H)} \pm \delta_t$$

 f_B —

, °C;

 f'_B —

, °C;

 f_H —

, °C;

 f'_H —

, °C;

5, °C,

$$5 = \begin{matrix} \cdot & - & + & > \\ & - * & \end{matrix}$$

(16)

, °C;

—

(- 8, + 8).
 $= 1,5.$

8

8.1

() (/),

(,);

(,), ;

(,), ;

(/ ());

(,);

(,);

(,), ;

(,), ;

(,), ;

(,), ;

(,), ;

(/ ());

(,);

(,);

(,), ;

(/ ());

(,);

(,);

(,);

(,);

(,);

(,);

(,);

(,);

8.3

8.4

8.5

9

9.1

9.2

9.3

9.4

18

()

()

.1 (/) 8.
 .2 , ,
 .3 , ,
 .4 : «1 »; «2
 »; «3 »; «4
 »; «5 »; «6 »;
 »; «7 »;
 .5 1 « , ; ,
 .6 2 « , ; ,
 .7 (,)
 .8 5 ; ;
 .9 , , , ,
 .10 4 , , ,
 .11 , , , ,

-3,0	DOOOOOOOOOOOOOOOOOOOOO QQQQQQQQQQQQQQQQQQQQQQ <D A166 doAioddooAioodoAiod
-8,0	ID N OQ ID 9^00
-13,0	
-18,0	
11.02.18 15.02.18	16.02.18 26.02.18

.1 —

11.02.18 . 26.02.18 .
3 (00:00, 03:00, 06:00, 09:00, 12:00, 15:00, 18:00, 21:00)

.7 3 « »

, ;

.8 4 « »

, ; 10—15

, ; «7 ».

, ; () .

, ; ,

, ; ().

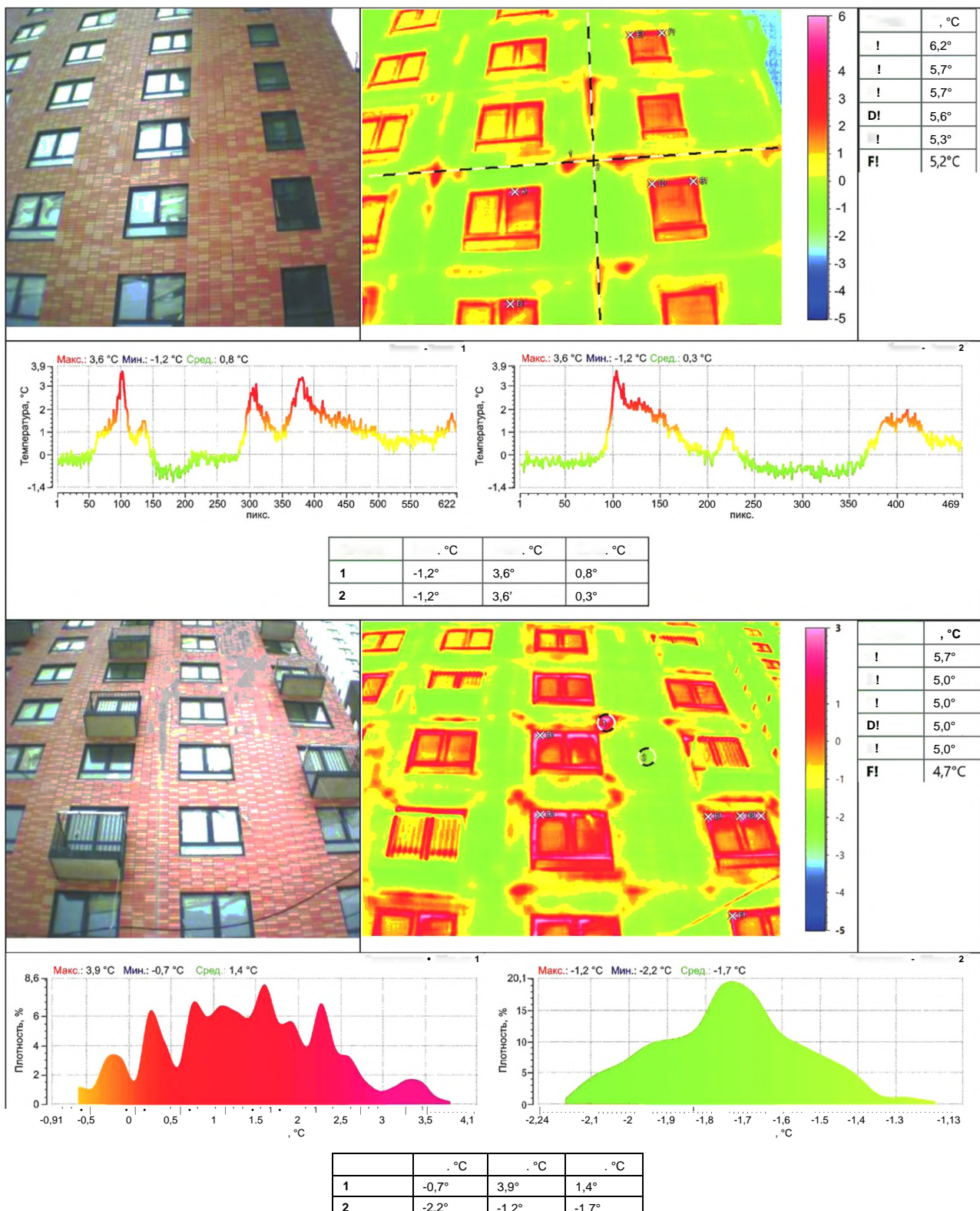
, ; ,

, ; , ,

, ; , ,

, ; « » 4.

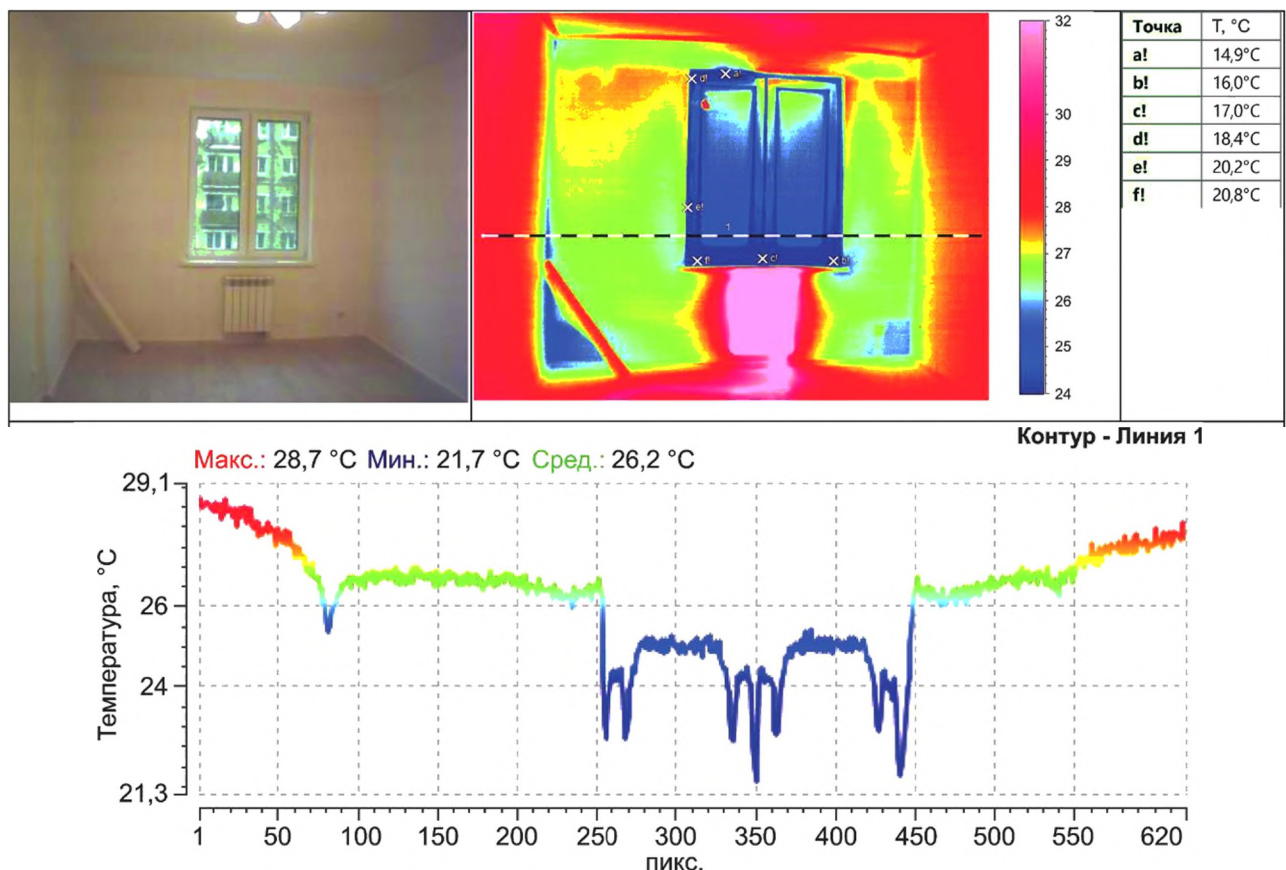
.2 .



0.0.1 —

1—4

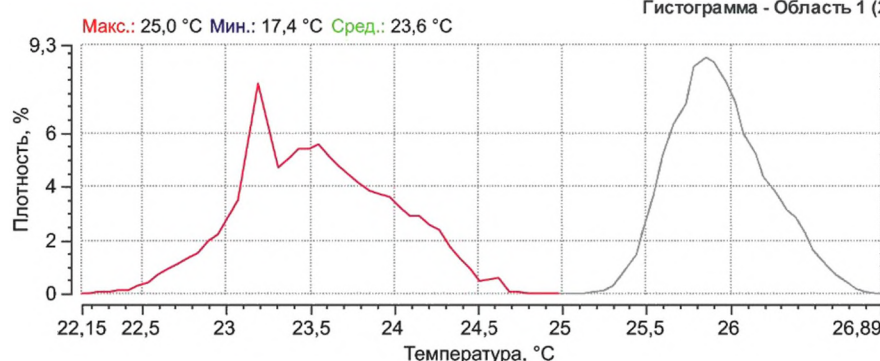
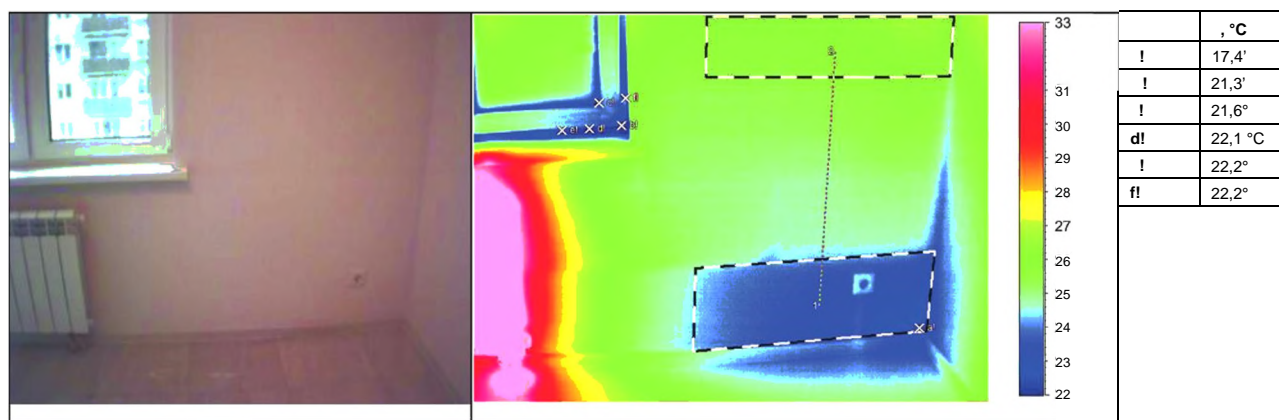
1, 2



1 () , .

(), () , 0.1.1) 4.

2 — .2 —



	. °C	. °C	. °C
1	17,4°	25,0°	23,6°
2	25,0°	26,9°	25,9°
2 - 1	7,6	1,9	2,4

0.0.2 — 7—8, — , 3-
 1 , , 28,7 °C,
 21,7 °C. — 26,7 °C,
 1 2
 2,3 °C.

1 « » 0.0.2)
 2 — 4. (, .
 . —

.9 5 « »

-) .])
- 1)
- 2)
- 3)
- 4)
- 5)

.4.



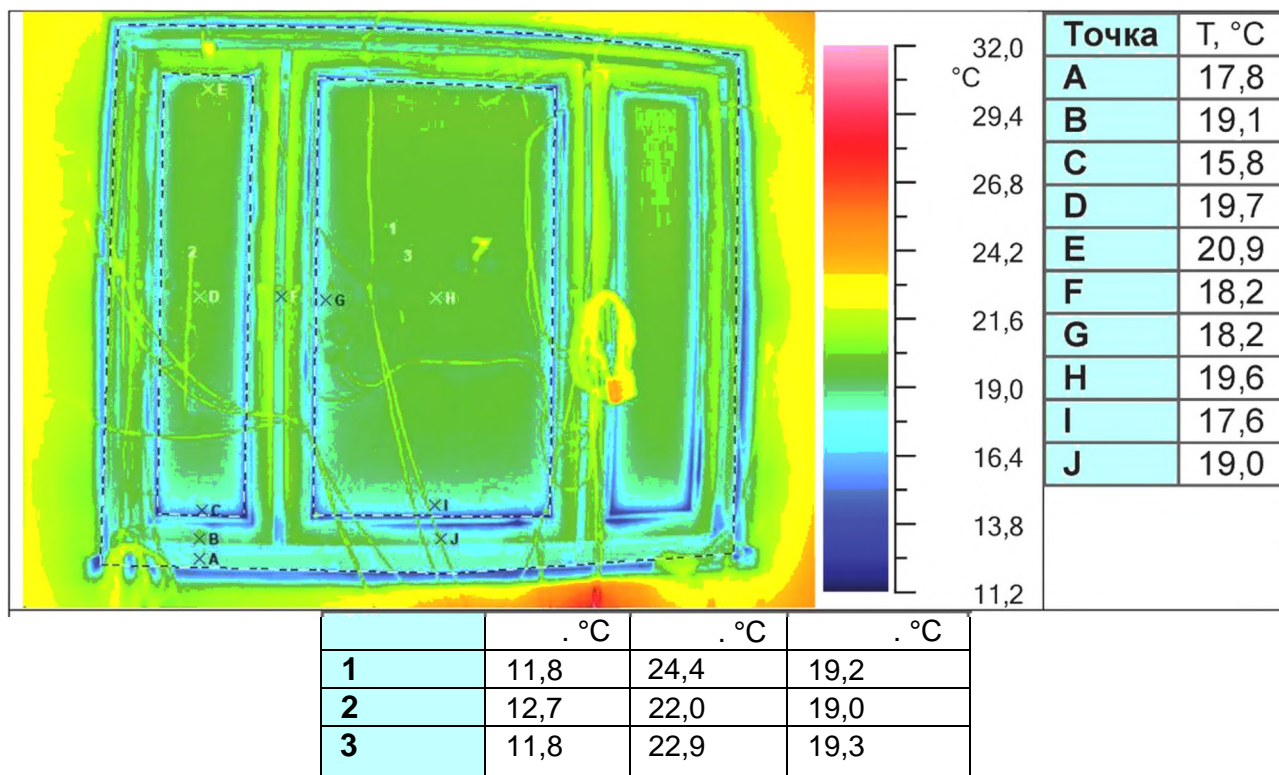
0.1.

9

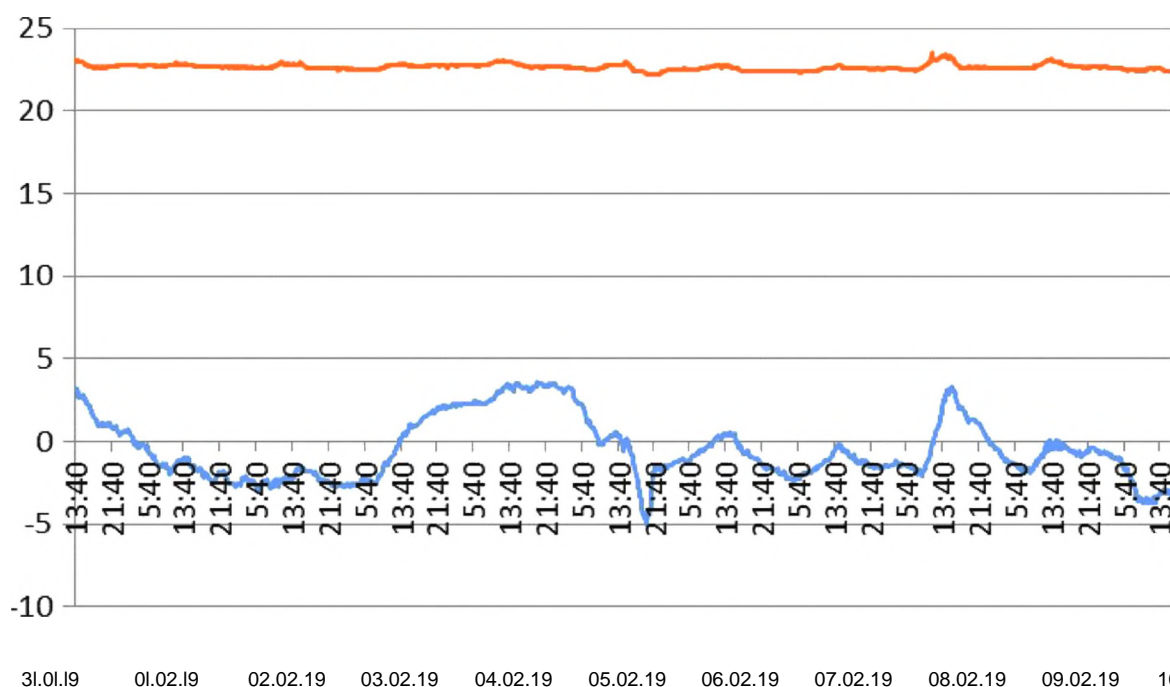
—

3-

1-



0.1.1 —

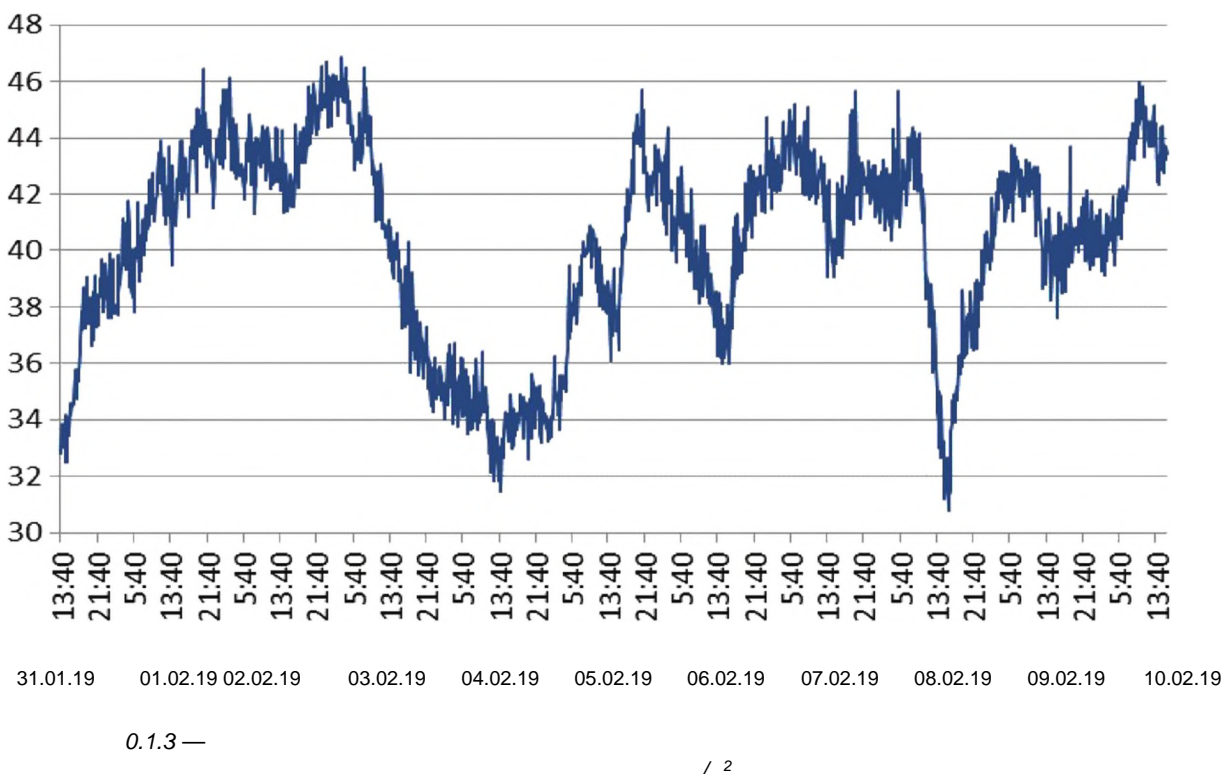


0.1.2 —

, °C

— 0,5 °C.

22,6 °C,



Среднее значение плотности теплового потока за период измерений составляет $40,3 \text{ Вт/м}^2$.

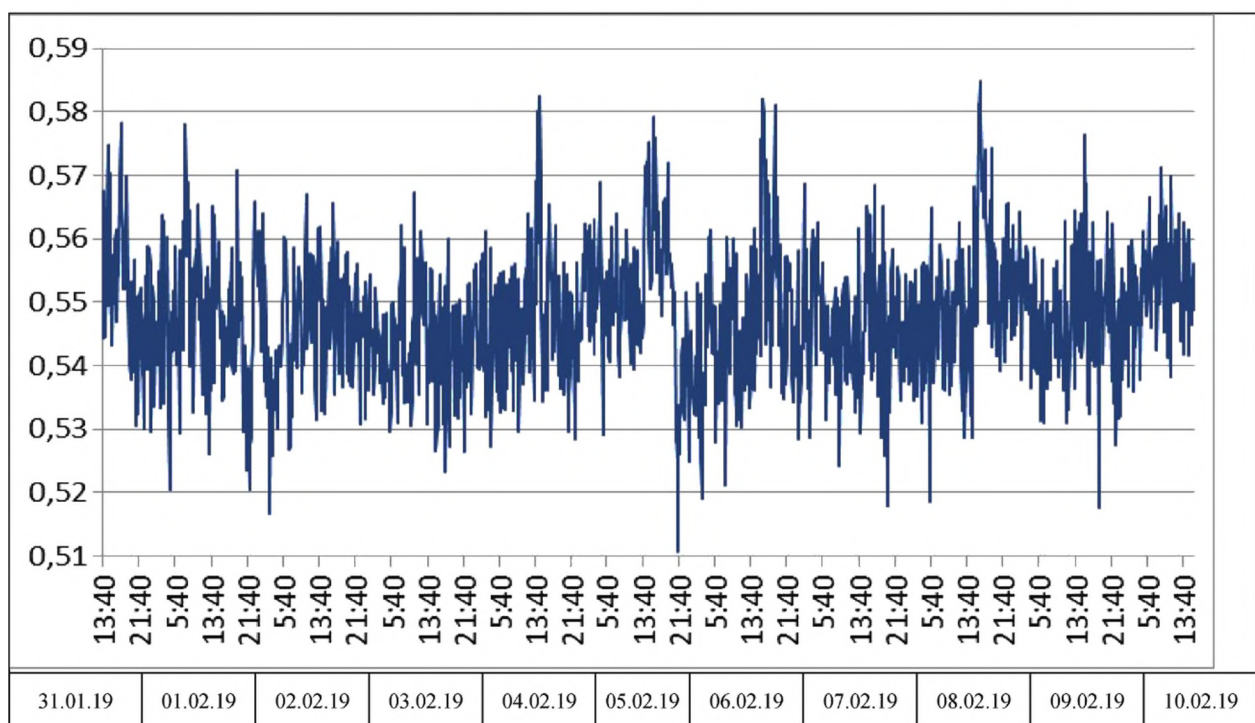
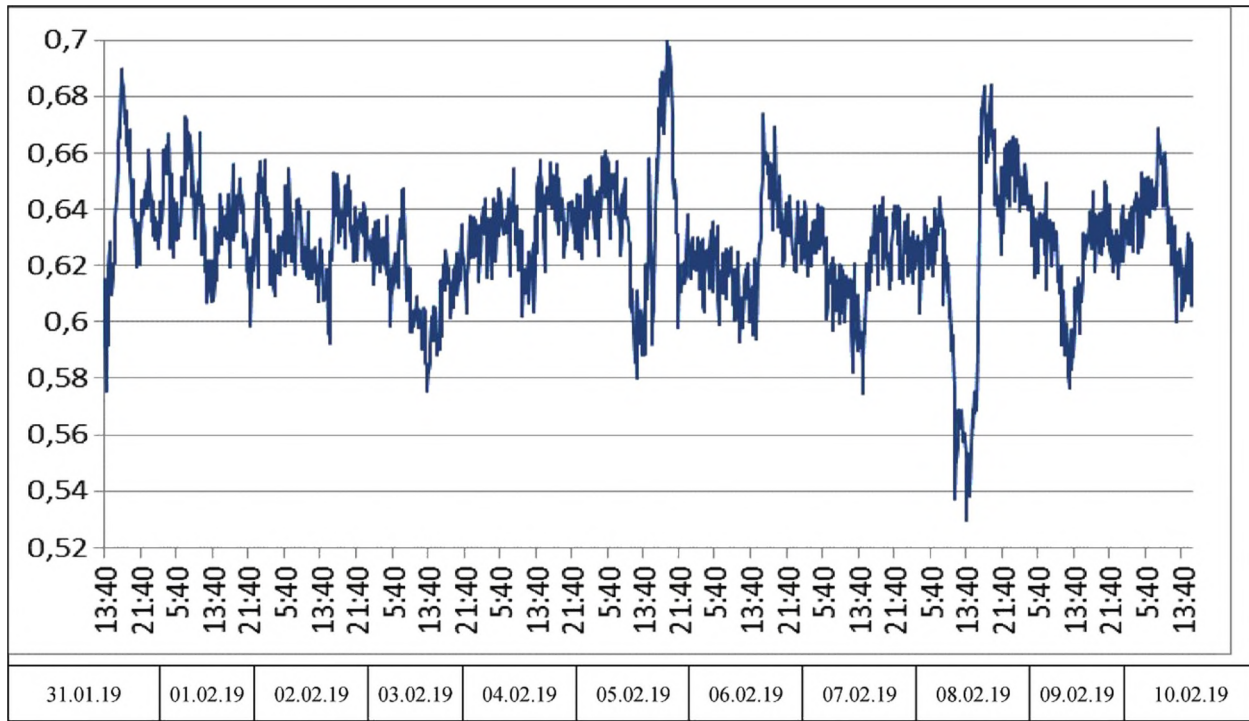


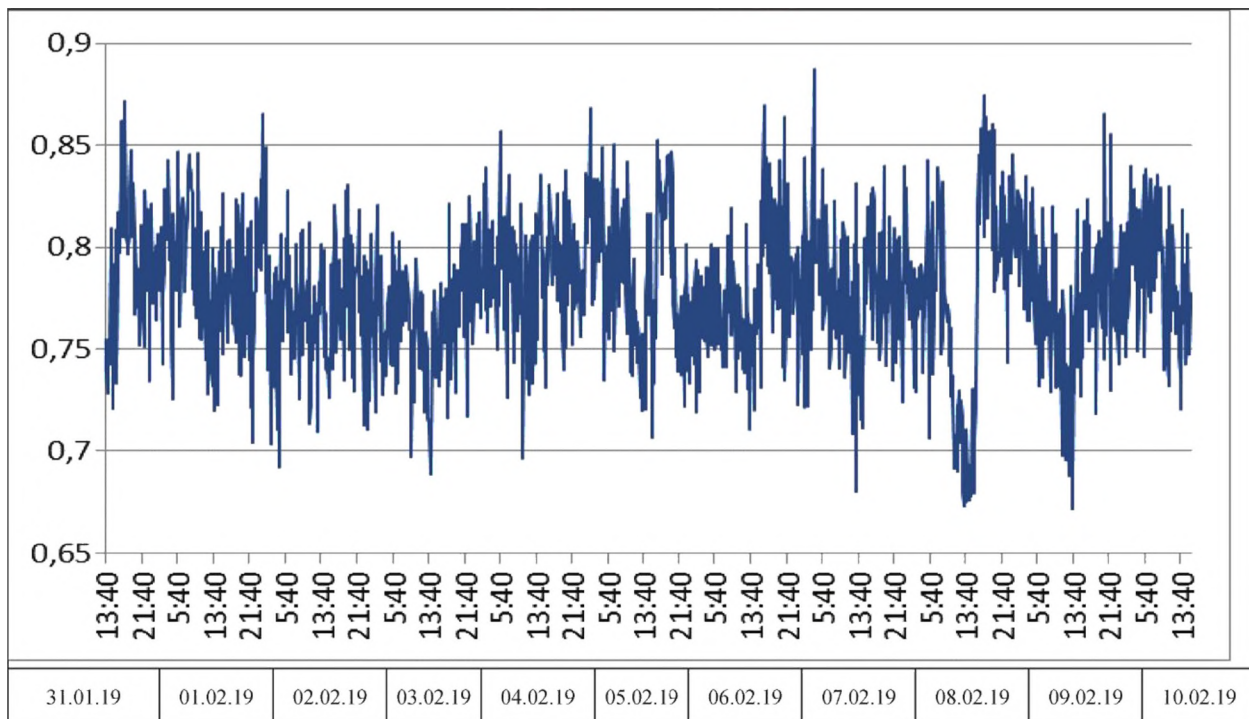
Рисунок 0.1.4 — График значений приведенного сопротивления теплопередаче оконного блока, $\text{м}^2 \cdot \text{°C}/\text{Вт}$

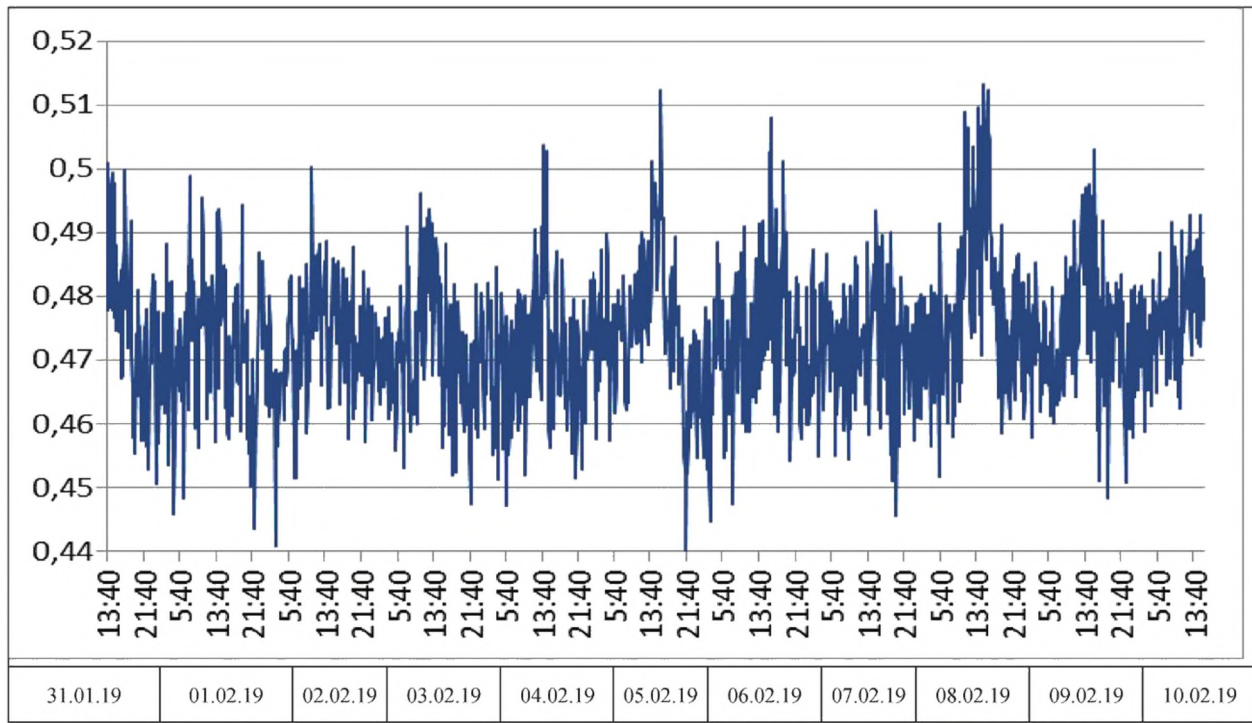
99,7 %

$(0,55 \pm 0,02) \text{ } ^2 \text{ } \text{° } / \text{ }$



0.1.5—

, $^2 \bullet ^\circ /$ 0,63 $^2 \bullet ^\circ /$ Рисунок 0.1.6 — График значений приведенного сопротивления теплопередаче профиля створок, $m^2 \cdot ^\circ C/W$ 0,78 $^2 \bullet ^\circ /$



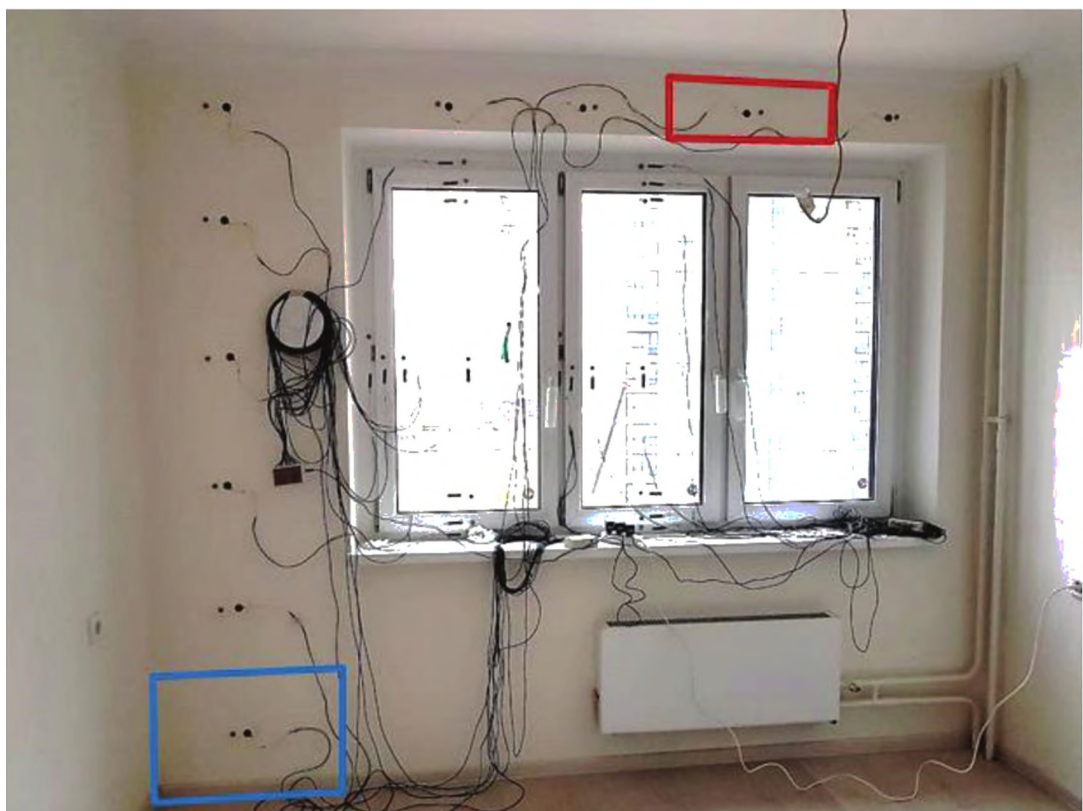
0.1.7 —

, 2 ° /

0,47 2 ° /

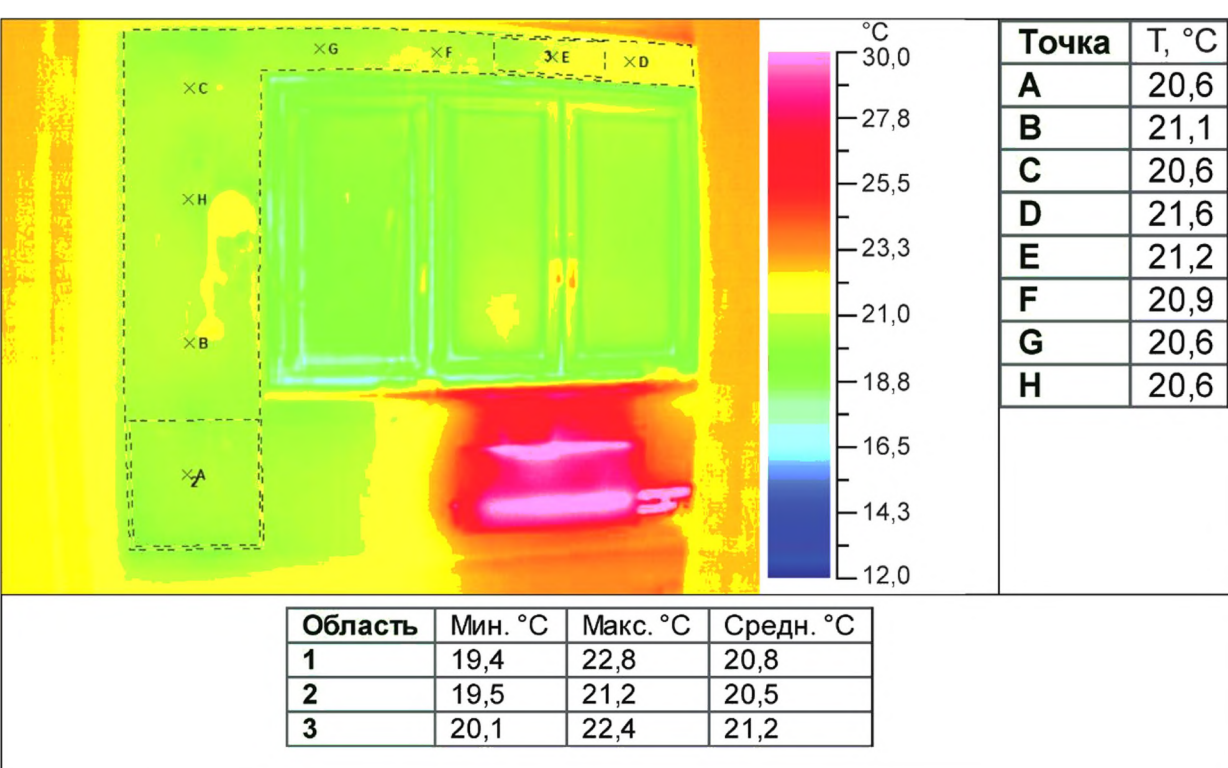
.4 —

.5.

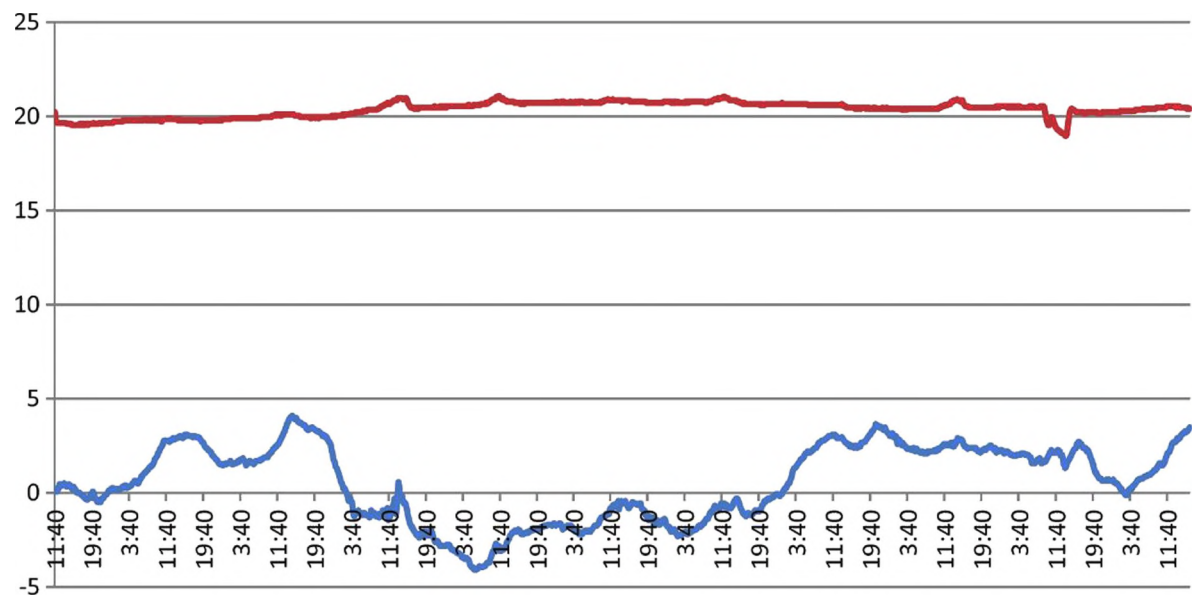


0.2. (1)

1—2

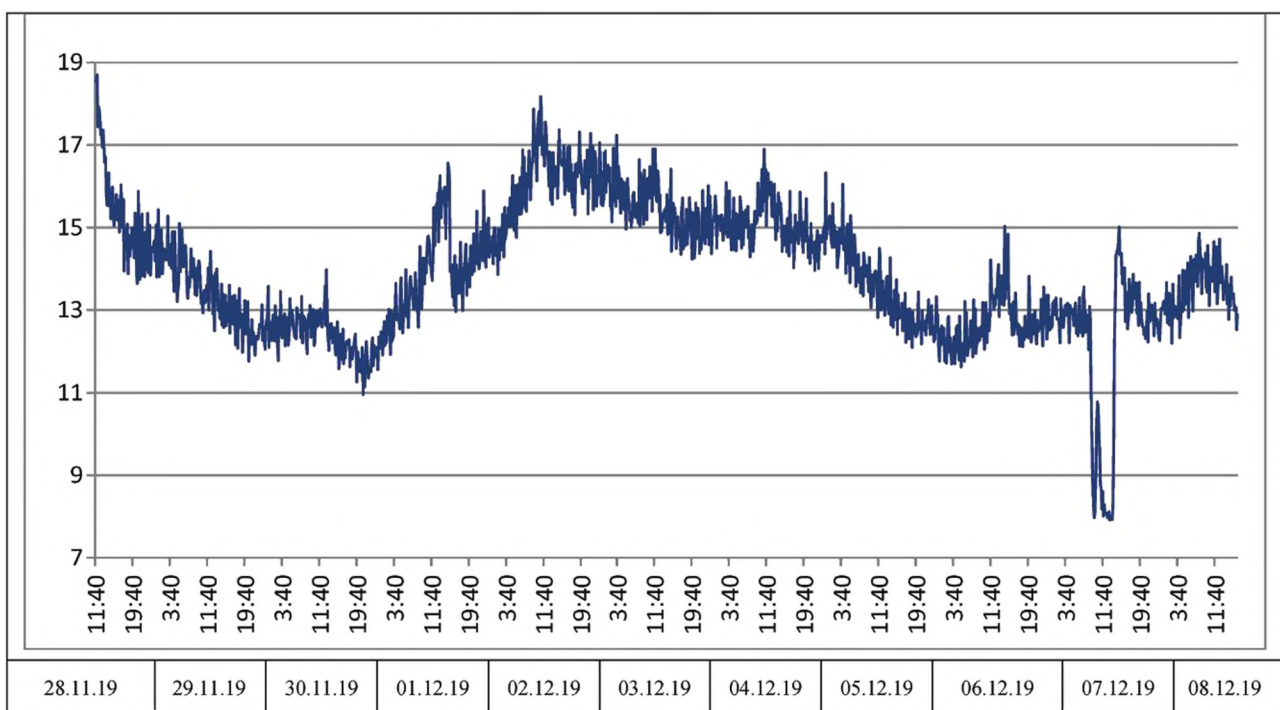


0.2.1 —



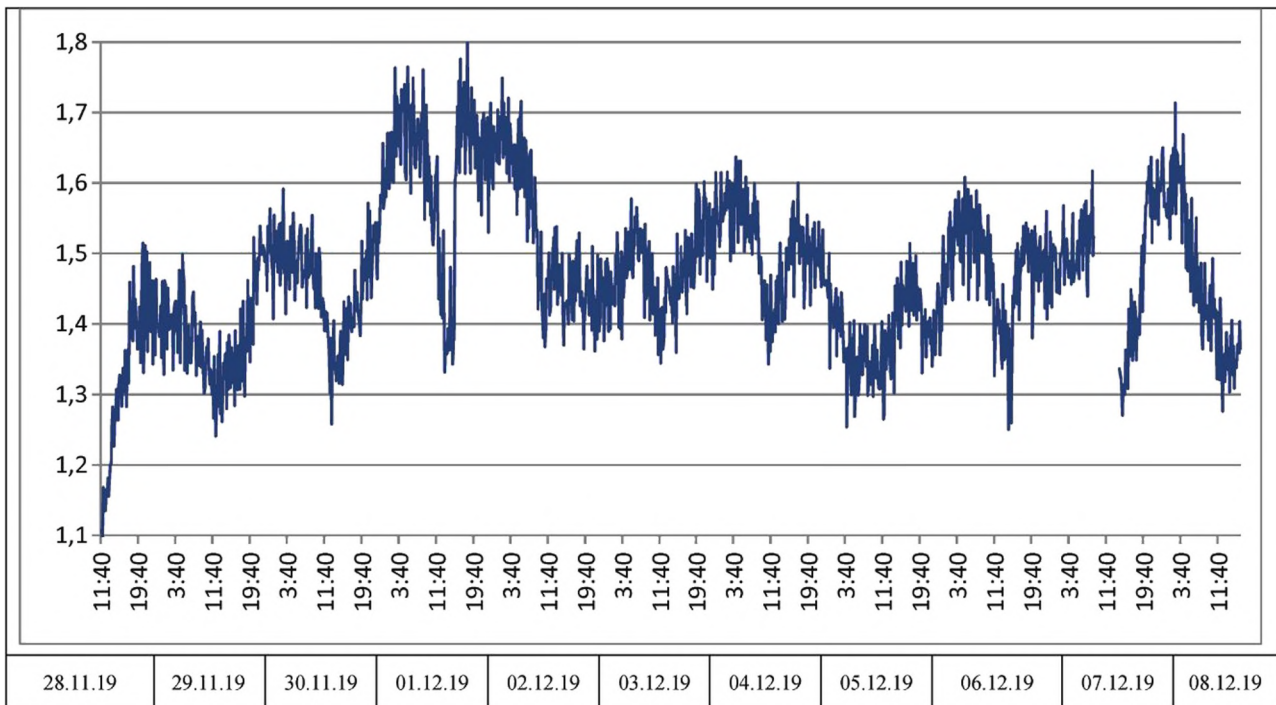
0.2.2 —

, °C

— +0,5 °C.
— +20,4 °C.

0.2.3 —

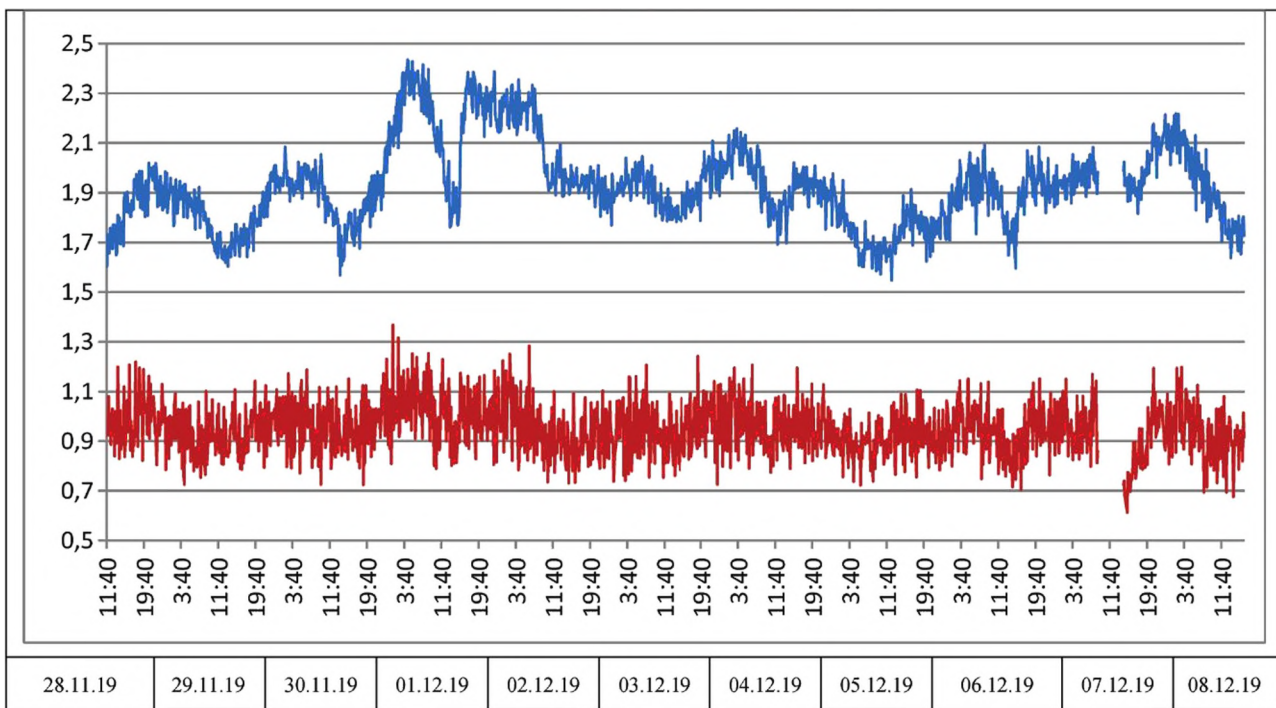
, /²13,9 /².



0.2.4 —

, ² ° /

99,7 %

(1,47 ± 0,11) ² ° / .

0.2.5 —

, ² ' /1,93 ² ° / ;
— 0,95 ² ° / .

.5 —

.5

7

)
1)

2)

3)

4)

10 6 « »

(

/

);

;

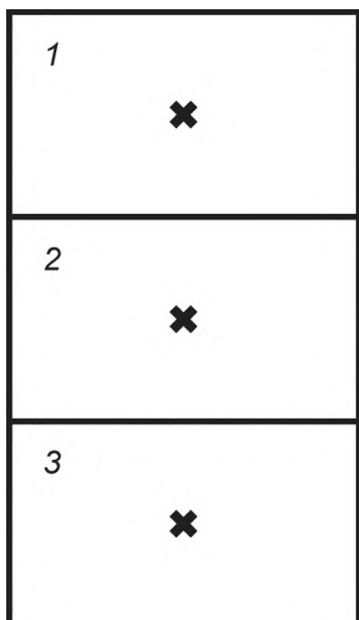
/ ; ().
.11 7 « »

.12
.12.1

7.

()

(.6).



.6 —

1, 2, 3

$$\begin{array}{ccc} \vdots & -1 & ; \\ .1. & -2,7 & ; \end{array}$$

.1

	, °C			, °C			$q, /^2$		
	1	2	3	1	2	3	1	2	3
14:00	13,2	13,5	13,7	-6,1	-6,1	-6,1	10,4	9,4	10,3
14:10	13,2	13,6	13,8	-6,1	-6,1	-6,1	9,7	17,1	10,2
14:20	13,2	13,7	13,8	-6,3	-6,3	-6,3	11,5	15,9	12,1
14:30	13,2	13,5	13,7	-5,9	-5,9	-5,9	11,1	14,9	10
14:40	13,1	13,5	13,7	-5,7	-5,7	-5,7	8,5	10,3	9,2

$$\begin{aligned} : F_1 = 0,9 & ^2; F_2 = 0,9 & ^2; F_3 = 0,9 & ^2. \\ & : = 8,7; = 23. \end{aligned}$$

:

$$z_1 = \frac{0,9 \cdot 10,4 + 0,9 - 9,4 + 0,9 \cdot 10,3}{(0,9+0,9+0,9)} = 1^{\circ}0^{\circ}0^{\circ} \wedge ^2$$

$$g_2 = \frac{0,9 - 9,7 + 0,9 \cdot 17,1 + 0,9 - 10,2}{(0,9+0,9+0,9)} = 12,3 \quad ^2,$$

$$= \frac{0,9 \cdot 11,5 + 0,9 - 15,9 + 0,9 \cdot 12,1}{(0,9+0,9+0,9)} = 13,2 \text{ Bw};$$

$$\frac{0,9 \cdot 11,1 + 0,9 - 14,9 + 0,9 \cdot 10}{(0,9+0,9+0,9)} = 12,0 \quad / ^2;$$

$$z_5 = \frac{0,9 - 8,5 + 0,9 - 10,3 + 0,9 - 9,2}{(0,9+0,9+0,9)} = 9,3 \quad / ^2.$$

:

$$z_1 = \frac{13,2 - (-6,1)}{10,4} = 1,9 \quad ^2;$$

$$z_2 = \frac{13,2 - (-6,1)}{9,7} = 2,0 \quad ^2;$$

$$z_3 = \frac{13,2 - (-6,3)}{11,5} = 1,7 \quad ^2;$$

$$R1_4 = z_7 = 1,7 \quad ^2 \bullet \circ /$$

$$R_{1_5} = \frac{13,1-(-5,7)}{8,5} = 2,2^2^\circ / ;$$

$$2-1=1^{\wedge}1=1\cdot2^{\wedge}$$

$$2- = ^\wedge \wedge = 1,2^2"$$

$$R_{2_3} = \frac{13,7-(-6,3)}{15,9} = 1,2^\circ / ;$$

$$=\frac{13,5-(-5,9)}{14,9} \Delta -$$

$$R_{2_5} = \frac{13,5-(-5,7)}{10,3} = 1,9^2^\circ / ;$$

$$,..UkM.w.-o^*$$

$$R_{3_2} = \frac{13,8-(-6,1)}{10,2} = 2,0^2 / ;$$

$$\begin{array}{rcl} 3_3 & = & 15^{\wedge\wedge\wedge\wedge} \\ 3_{-3} & & 12,1 \end{array} = 171^{\wedge}2.008.,.$$

$$,..«ZzM.M.^$$

$$R_{3_5} = \frac{13,7-(-5,7)}{9,2} = 2,1^2^\circ /$$

$$\wedge 1 \sim \frac{0,9+0,9+0,9}{(0,9/1,9 + 0,9/2,1 + 0,9/2,0)} \Delta + \Delta = 2,1^2^\circ / ;$$

$$\wedge 2 = \frac{0,9+0,9+0,9}{(0,9/.0,9/.0,9/.)(/2,0^+/1,2^+/2,0)} \Delta + \Delta = 1,8^2^\circ / ;$$

$$- \quad \quad \quad 0,9+0,9+0,9 \quad \quad \quad 1 1.-2$$

$$3 \% \wedge \& \wedge 87 23 ! "$$

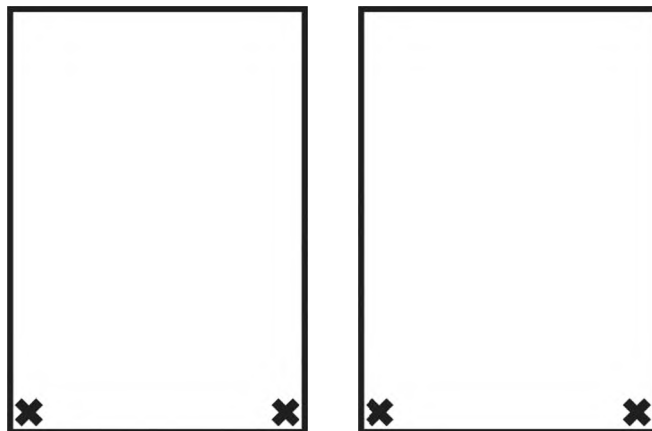
$$\wedge 4 " \quad \frac{0,9+0,9+0,9}{(0,9/1,7 + 0,9/1,3 + 0,9/2,0)} \Delta + \Delta = 1,8^2 / ;$$

$$\stackrel{\wedge}{\wedge} \stackrel{5}{-} \frac{0,9+0,9+0,9}{\left(\begin{array}{c} 0,9 \\ 2,2 \end{array} + \begin{array}{c} 0,9 \\ 1,9 \end{array} + \begin{array}{c} 0,9 \\ 2,1 \end{array} \right)} + \stackrel{8,7}{-} \stackrel{23}{-} = 2,2 \stackrel{2-0}{-}$$

12.2

13

(. . . .7).



.7 —

$$f_B = 20^{\circ}\text{C}, f_H = -25^{\circ}\text{C}.$$

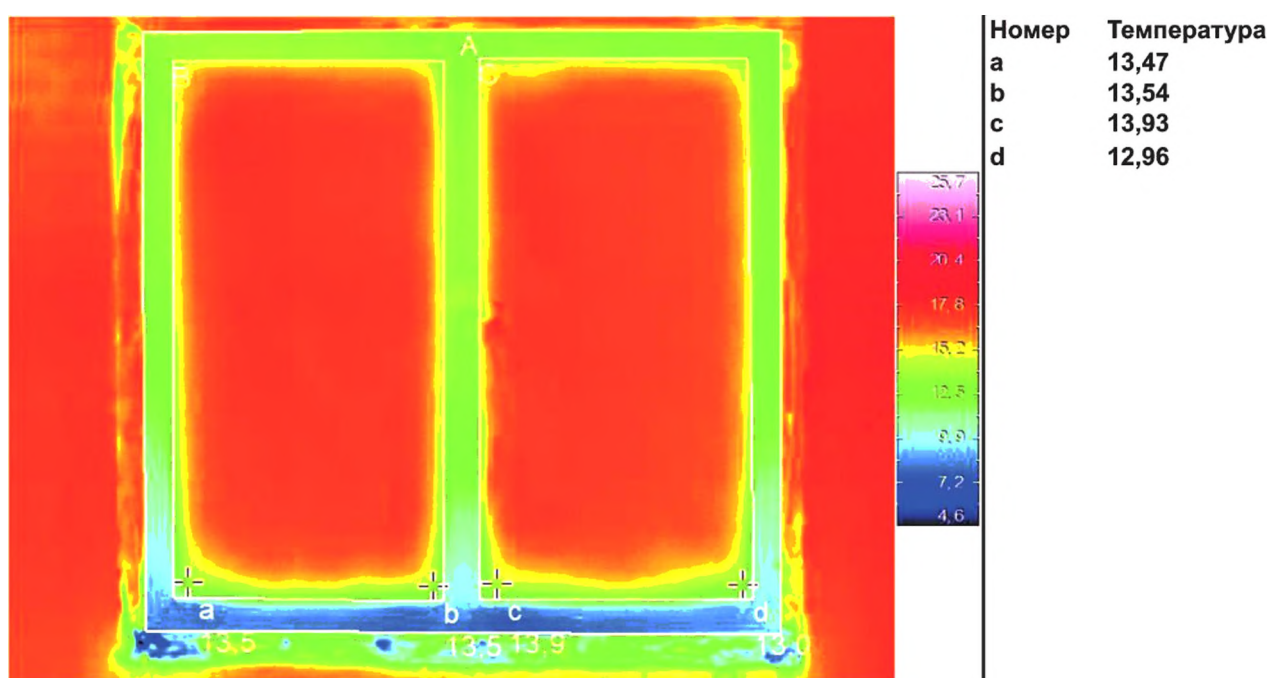
0,2 °C.

5, °C,

(16).

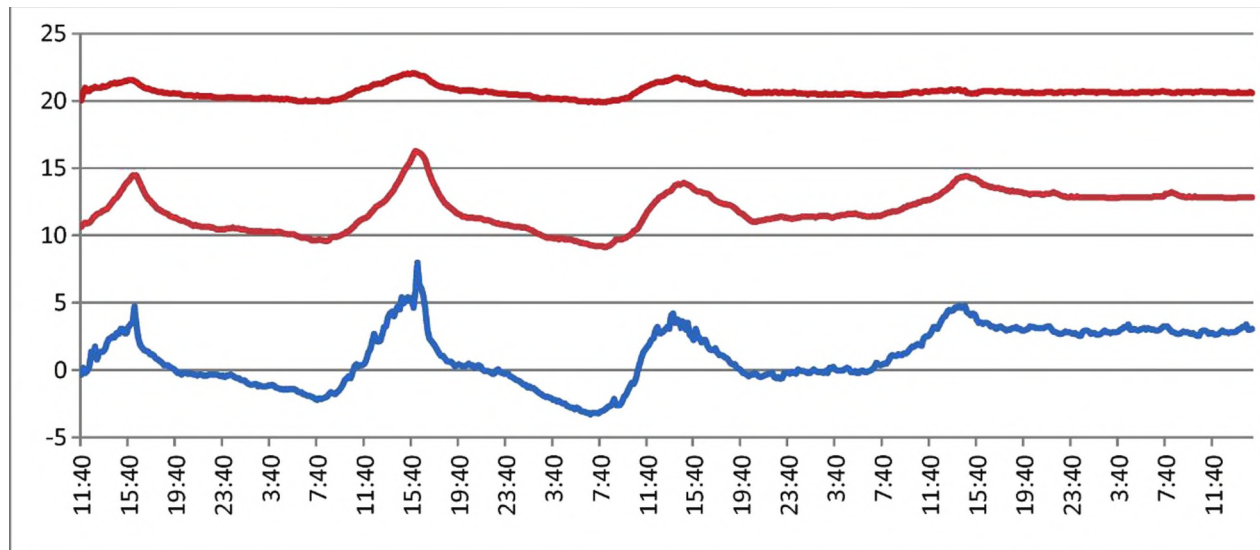
10

.8, .9.



17,92 6,37 15,41
17,74 9,43 16,56
17,92 9,51 16,47

.8 —
(), (), (),
, d



14.02.22

15.02.22

16.02.22

17.02.22

18.02.22

.9 —

()

()

, °C

+20,66 °C.

+ 11,9 °C.

f_H

+1,09 °C.

:

$$\frac{-10 \text{ } (20,66-11,9)-(20-(-25))}{20,66-1,09} = -0,1 \text{ } ^\circ\text{C.}$$

+11,12; +11,31 +11,61 °C

$$5 = 1,5 - \frac{20-(-25)}{20,66-1,09} + 0,2 = 3,7 \text{ } ^\circ\text{C.}$$

:

$$\wedge) = 1 \pm 3,7" ;$$

$$() = (-1,9 \pm 3,7) \text{ } ^\circ\text{C};$$

$$() = (-1,5 \pm 3,7) \text{ } ^\circ\text{C};$$

$$() = (-0,8 \pm 3,7) \text{ } ^\circ\text{C.}$$

[1]

26 2008 . 102- «

»

624.01:535.233:006.354

91.120.10

, , , , , , , , ,

15.03.2024. 28.03.2024. 60x847s.
4,65. .-. 3,72.

« »
, 117418 , - , . 31, . 2.
www.gostinfo.ru info@gostinfo.ru